

Universidad Aeronáutica en Querétaro



Innovación educativa para el desarrollo de México

---

## TESIS

---

Trabajo Profesional para obtener el Titulo de Ingeniero en Electrónica y

Control de Sistemas de Aeronaves.

Marco Antonio Aguilar Gallardo

Dirige: Antonio Flores

Municipio de Colón, Querétaro

1 de febrero de 2020



## DEDICATORIA



## AGRADECIMIENTOS

## ÍNDICE DE FIGURAS

1.1. Objetivo . . . . .	2
1.2. Uso de una gimbal para una IMU [Grewal, 2007] . . . . .	3
1.3. Uso de una gimbal en un motor de propulsión [NAS, 2013] . . . . .	3
1.4. Jerrie Cobb, uno de los Mercury 13, da un giro en la plataforma gimbal. Créditos: NASA . . . . .	4
1.5. Primer uso de la steadicam . . . . .	5
2.1. Similitudes entre humano y computadora . . . . .	6
2.2. El camino que sigue la señal óptica dentro de la cabeza humana. . . . .	7
2.3. Componentes generales del ojo humano . . . . .	8
2.4. Formación de una imagen en el ojo . . . . .	9
2.5. Componentes de la cámara . . . . .	10
2.6. Proceso general de captura de imagen por la cámara . . . . .	11
2.7. Captura de imagen . . . . .	11
2.8. Nodos conectados al Master . . . . .	13
2.9. Representación grafica de Topics . . . . .	13
2.10. Comunicación de mensajes . . . . .	14
2.11. Odroid XU-4 . . . . .	14
2.12. Pruebas de performance . . . . .	15
4.1. Camara 'Ocam' . . . . .	18
4.2. Nodos y topic . . . . .	19
4.3. Comunicación entre opencv y ROS . . . . .	20
4.4. Diagrama de flujo del programa publisher . . . . .	21
4.5. Pruebas para color amarillo . . . . .	22

## **ÍNDICE DE CUADROS**



# CAPÍTULO 1

## INTRODUCCIÓN

En el presente capítulo se expone el objetivo general, así como sus derivados. En la primera sección se aborda el tema de investigación donde especifica la justificación del presente trabajo, posteriormente se sintetiza algunas de las investigaciones que sirvieron como base para la elección del tema previamente descrito. Finalmente se dan las razones de la investigación y se exponen las aportaciones derivadas del tema de tesis.

### 1.1. Tema de investigación

En el campo de la aeronáutica hay una rama que en los últimos años ha sido objeto de estudio debido a su exponencial importancia para tareas críticas, se trata de los vehículos aéreos no tripulados UAV (del inglés unmanned aerial vehicle), donde dichas tareas críticas han podido alcanzar sus objetivos en parte gracias a la implementación reciente de visión artificial.

En la implementación de camaras para el sistema visual de los UAV's la estabilidad juega un rol importante, debido a que el sistema se encuentra expuesto a diversos factores que hacen que la captura de imágenes sea deficiente. Es por ello que la implementación de un sistema estabilizador de camaras es necesario.

El tema principal de este trabajo se basa en la obtención de imágenes y

### 1.2. Justificación

### 1.3. Objetivo

Diseñar, instrumentar y controlar un dispositivo gimbal que sea capaz de seguir un objeto a través de visión artificial para implementarse en un UAV de categoría pequeña a velocidad baja.

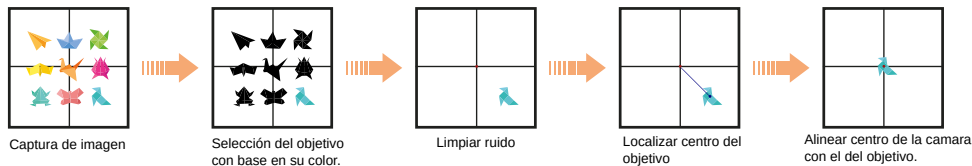


Figura 1.1: Objetivo

## 1.4. Objetivos específicos

- Obtener el modelo matemático de una gimbal de 2 grados de libertad.
- Diseñar e implementar el sistema embebido que dará el soporte electrónico a la gimbal.
- Capturar figuras geométricas definidas mediante el uso de una cámara digital y emplear algoritmos de visión artificial para la obtención de datos.
- Diseñar un controlador autónomo con base en el modelo matemático, previamente obtenido.

## 1.5. Estado de la cuestión

La aparición de la gimbal no es un término para nada nuevo, de hecho es viejo más de lo que muchos podemos creer. Fue en el 250 antes de nuestra era cuando el inventor Philo of Byzantium describió un bote de tinta de ocho lados con una abertura en cada lado, que se puede girar de modo que mientras cualquier cara está en la parte superior, se puede sumergir y entintar un bolígrafo, aunque la tinta nunca se agota a través de los agujeros de los otros lados. [Gim, ].

Desde entonces y hasta la fecha múltiples científicos han desarrollado investigaciones alrededor de dicho artefacto, algunos teniendo más éxito que otros; los cuales serán brevemente expuestos con la finalidad de obtener el estado actual en el que se encuentra la gimbal y su avance tecnológico.

### ■ Navegación inercial

En la navegación inercial, como se aplica a los barcos y submarinos, se necesita un mínimo de tres gimbals para permitir que un sistema de navegación inercial (masa estable) permanezca fijo en el espacio inercial, compensando los cambios en el guiñada, inclinación y balanceo del barco.

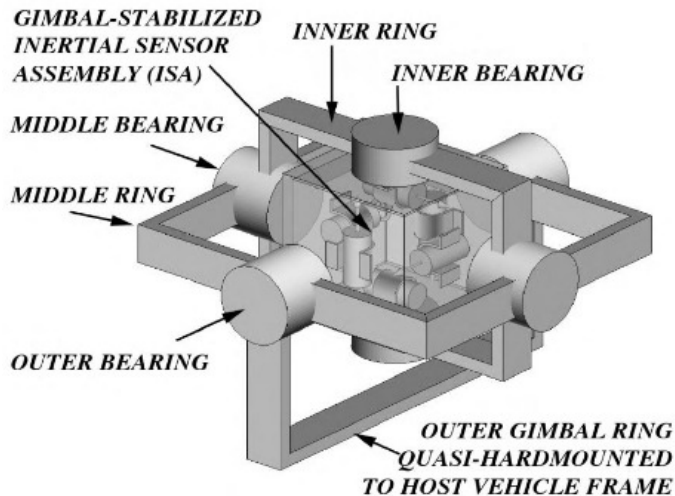


Figura 1.2: Uso de una gimbal para una IMU [Grewal, 2007]

En esta aplicación, la Unidad de medición inercial (IMU) está equipada con tres giroscopios montados ortogonalmente para detectar la rotación alrededor de todos los ejes en el espacio tridimensional. Las salidas giroscópicas accionan motores que controlan la orientación de los tres gimbals según sea necesario para mantener la orientación de la IMU.

#### ■ Motores de cohete

En la propulsión de naves espaciales, los motores de cohetes generalmente se montan en un par de gimbals para permitir que un solo motor logre el empuje sobre los ejes de inclinación y guiñada; o, a veces, solo se proporciona un eje por motor. Para controlar el giro, se utilizan motores gemelos con señales de control de inclinación diferencial o guiñada para proporcionar torque sobre el eje de balanceo del vehículo.

Uno de los motores más famosos es el J-2X. Es un motor de cohete avanzado altamente eficiente y versátil con las características ideales de empuje y rendimiento para impulsar la etapa superior del espacio de la NASA. [NAS, ]



Figura 1.3: Uso de una gimbal en un motor de propulsión [NAS, 2013]

- **Entrenamiento para astronautas**

Sistema de simulación de maniobras de tipo caída que se pueden encontrar en el vuelo espacial fue creado por la NASA y era conocido como "the gimbal rig,". Tres jaulas tubulares de aluminio podrían girar por separado o en combinación para dar movimientos de balanceo, cabeceo y guiñada a velocidades de hasta 30 revoluciones por minuto, mayores que las esperadas en vuelos espaciales reales. Los chorros de gas nitrógeno, unidos a las tres jaulas, controlaron el movimiento. Desde el 15 de febrero hasta el 4 de marzo de 1960, la plataforma de cardán proporcionó una capacitación valiosa para los siete astronautas del Proyecto Mercurio. Cada uno experimentó unas cinco horas de tiempo de vuelo simulado. [MER, 2017]



Figura 1.4: Jerrie Cobb, uno de los Mercury 13, da un giro en la plataforma gimbal.

Créditos: NASA

- **Estabilizador de Camaras**

Los gimbals también se utilizan para montar todo, desde lentes de cámara pequeñas hasta telescopios fotográficos grandes.

En los equipos de fotografía portátiles, se utilizan gimbals de un solo eje para permitir un movimiento equilibrado de la cámara y las lentes. Esto resulta útil en la fotografía semi-profesional, así como en cualquier otro caso en el que se adopten teleobjetivos muy largos y pesados: un eje de la gimbol gira un lente alrededor de su centro de gravedad, lo que permite una manipulación fácil y suave mientras se rastrea a los sujetos en movimiento.

Los montajes de gimbol muy grandes en forma de montajes de altitud-altitud de 2 o 3 ejes se utilizan en la fotografía satelital con fines de seguimiento.

En la década de 1970, el director de fotografía estadounidense Garrett Brown tuvo una idea simple pero revolucionaria: hacer un dispositivo que pudiera suavizar las tomas de acción manuales.



Figura 1.5: Primer uso de la steadicam

El resultado es el Steadicam (Que cumple con los principios físicos de la gimbal) Ganador de un Premio de la Academia, que hizo su debut cinematográfico en la película "Bound for Glory", y se destacó en las películas Rocky y "The Shining"

## 1.6. Contribuciones

## 1.7. Alcances

## 1.8. Estructura de la tesis

## CAPÍTULO 2

### MARCO TÉORICO

En este capítulo desarrolla la teoría que fundamenta el proyecto de investigación con base en el problema previamente descrito.

Antes de entrar a la teoría es necesario entender cuales son las fases del proyecto y el porque de ellas. La siguiente imagen muestra la similitud entre el sistema de adquisición de datos de un humano y la de un sistema digital.

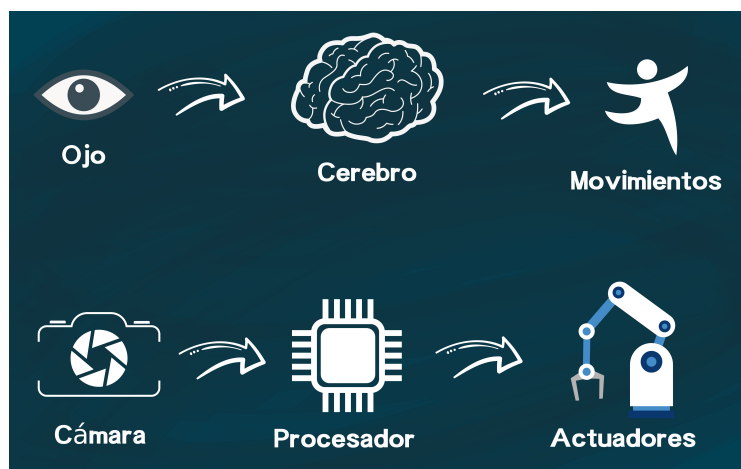


Figura 2.1: Similitudes entre humano y computadora

Donde se observa un diagrama de flujo que empieza con la adquisición de datos, en este caso la captura de una imagen, posterior se hace un procesamiento, es decir, se le da sentido a los datos, y finalmente se hace una acción con base en la tarea que el procesador ha generado.

### 2.1. Óptica

La visión artificial surge de un amplio estudio probabilístico y matemático del procesamiento de imágenes digitales, pero sobre todo de análisis humanos y de la intuición ya que de estas últimas el ingeniero hace selección de entre una u otra técnica. Esta elección

se basa usualmente en juicios visuales subjetivos.

Entender los conceptos básicos de la percepción humana es entonces pertinente, donde la Óptica nos ayudará a entender mejor como es que el ojo humano percibe y como lo hace una cámara.

La función de la óptica de una cámara es captar los rayos luminosos y concentrarlos sobre el sensor sensible de la cámara de video. Después de determinar el tipo de iluminación que mejor se adapta al problema, la elección de una óptica u otra influirá en la calidad de la imagen y el tamaño de los objetos.

### 2.1.1. Descripción general del sistema visual humano

La luz entra al ojo y estimula los sensores en la parte posterior. La señal que se crea luego viaja a través del nervio óptico, cruzando el nervio que proviene del otro ojo y llega a un órgano, en el interior del cerebro en el área del tálamo, llamado núcleo geniculado lateral (LGN). Las salidas de la LGN se envían a la corteza visual en la parte posterior del cerebro. La corteza visual es quizás la parte más compleja del cuerpo humano. Es el lugar en el cerebro donde tiene lugar la mayor parte del procesamiento visual. [Bharath, 2008]

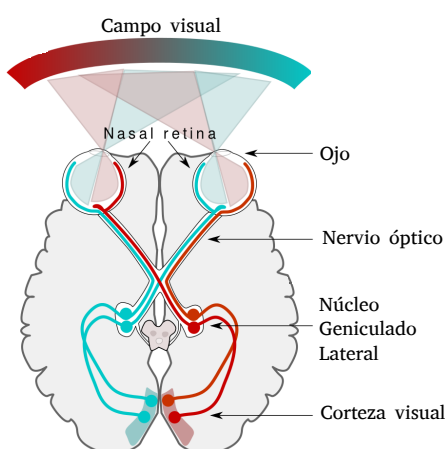


Figura 2.2: El camino que sigue la señal óptica dentro de la cabeza humana.

En términos generales, cuanto más nos alejamos del camino visual del ojo, menos entendemos lo que está sucediendo.

### 2.1.2. Estructura del ojo humano

Es necesario abordar algunos conceptos básicos para entendernos en un futuro, pero sobre todo comprender las similitudes del ojo humano y la cámara, además de analizar limitaciones físicas de la vista humana en los mismos términos que usaremos para nuestras imágenes digitales.

El ojo está formado de dos componentes principales:

- **Componentes ópticos:**

Permiten la formación de la imagen en la retina y son los siguientes: la córnea, el cristalino, la pupila, el humor acuoso y el humor vítreo que permiten la formación de una imagen en la retina.

■ **Componentes neurológicos:**

son los que transforman la información óptica en eléctrica y transmiten la información al cuerpo geniculado lateral. Estos componentes son la retina y el nervio óptico.

- **Cornea:** La córnea es una estructura del ojo que permite el paso de la luz desde el exterior al interior del ojo y protege el iris y el cristalino. Posee propiedades ópticas de refracción y para garantizar su función debe ser transparente y es necesario que mantenga una curvatura adecuada.
- **Esclerótica:** Es el recubrimiento exterior blanco del ojo. La esclerótica le da su color blanco al globo ocular.
- **Coroides:** Es la capa de vasos sanguíneos y tejido conectivo entre la parte blanca del ojo y la retina (en la parte posterior del ojo). Es parte de la úvea y suministra los nutrientes a las partes internas del ojo.
- **Cuerpo ciliar:** Es una estructura circular que es una prolongación del iris, la parte de color del ojo. También contiene el músculo ciliar, el cual cambia la forma del cristalino cuando los ojos se enfocan en un objeto cercano. Este proceso se denomina acomodación.
- **Diafragma Iris:** que se expande o contrae para controlar la cantidad de luz que entra en el ojo. La apertura central del iris, llamada pupila, varía su diámetro de 2 a 8mm. El frente del iris contiene el pigmento visible del ojo, y la parte trasera contiene un pigmento negro.
- **Cristalino:** El cristalino es “la lente” del ojo y sirve para enfocar, ayudado por los músculos ciliares. El cristalino es una lente que actúa como una lente biconvexa, lenticular, flexible y avascular, cuya principal función es la de enfocar los objetos en las distintas distancias correctamente.
- **Retina:** Es la capa de tejido sensible a la luz que se encuentra en la parte posterior globo ocular. Las imágenes que pasan a través del cristalino del ojo se enfocan en la retina. La retina convierte entonces estas imágenes en señales eléctricas y las envía por el nervio óptico al cerebro.

[Vilet, 2005]

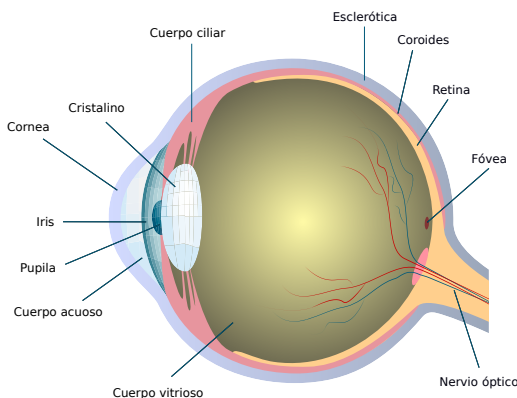


Figura 2.3: Componentes generales del ojo humano

### 2.1.3. Formación de imágenes en el ojo

El sentido de la vista en las personas tiene un funcionamiento complejo y necesita de dos elementos básicos: El ojo y el cerebro.

La luz es el tercer elemento más destacado en la visión. Sin ella somos incapaces de ver. Dentro del ojo se sigue una serie de pasos para poder capturar una imagen con base en la luz disponible.

- La luz pasa a través de la córnea y llega a la pupila que se contrae o expande según su intensidad. La pupila será más pequeña cuanta más luz haya para evitar deslumbramientos.
- El cristalino del ojo será quien proyecte las imágenes enfocadas en la retina. Puede aplanarse o abombarse según lo cerca o lejos que esté el objeto que veamos.
- La retina recibe la imagen invertida en sus paredes. La luz estimula los conos y los bastones quienes transforman esa información en impulsos nerviosos. Esta electricidad se trasladará al cerebro a través del nervio óptico.

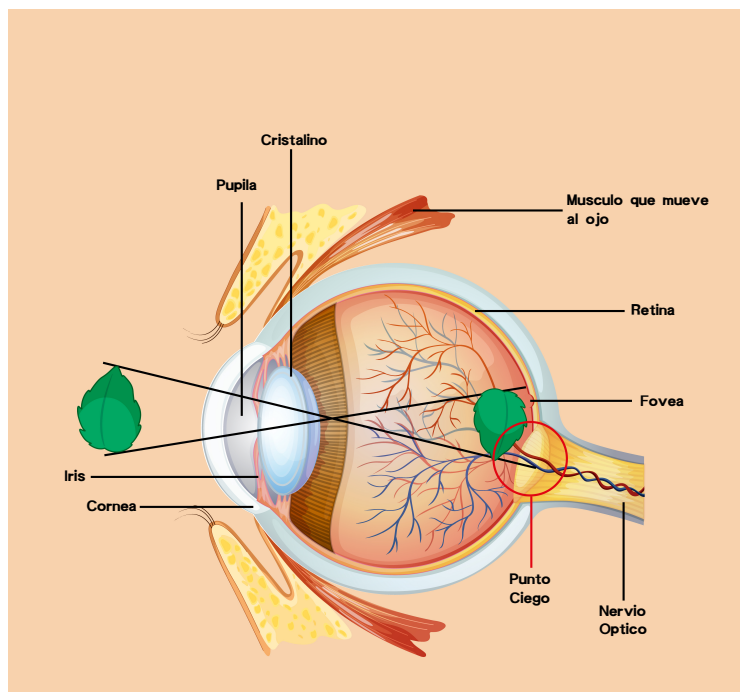


Figura 2.4: Formación de una imagen en el ojo

El cerebro es quien realmente ve las imágenes. Endereza la imagen invertida de la retina e interpreta la información de color, tamaño, posición, etc. La distancia entre el centro del cristalino y la retina (que llamaremos distancia focal), varía de aproximadamente 17mm a 14mm. [Vilet, 2005]

#### 2.1.3.1. Fotorreceptores

Los fotorreceptores son células especializadas de la retina del ojo responsables de convertir la luz en señales que son enviadas al cerebro. Los fotorreceptores nos dan la visión de color y la visión nocturna. [of Ophthalmology, 2017]

### 2.1.4. Camara digital

La cámara digital es uno de los cambios más importantes en esta era de la digitalización de la información. Es un invento tan revolucionario y que dista tanto de su predecesor análogo.

Las cámaras digitales producen imágenes capturando o grabando las características de la luz de una escena o sujeto. Las partes principales de la cámara que participan en el proceso son el cuerpo de la cámara, el obturador de la cámara, la lente de la cámara, la apertura de la lente y el sensor de imagen de la cámara. [PHOTOGRAPHY, ]

### 2.1.5. Componetes de la camara

- **Lente:** El objetivo de la lente de la cámara es enfocar y dirigir la luz entrante. La lente de la cámara consta de una o más piezas de vidrio o plástico de forma precisa llamadas elementos. La luz que entra por los elementos se "dobla." se dirige al sensor de imagen donde se captura la información sobre la luz.
- **Obturador:** Sistema mecánico o electrónico que permite el paso de la luz a través del sistema óptico durante un tiempo determinado.
- **Diafragma:** Sistema mecánico o electrónico que gradúa la mayor o menor intensidad de luz que debe pasar durante el tiempo que está abierto el obturador. En nuestro ojo la pupila se encarga de hacer esa función.
- **Sistema de enfoque:** Gradúa la posición del objetivo, para que la imagen se forme totalmente donde está la placa sensible. Su función es similar a la que realiza el cristalino en el ojo.
- **Sensor:** En el ojo, la retina es la parte a la que llega la luz antes de transformarse en señales eléctricas. Si buscamos en la cámara fotográfica un elemento que se asemeje nos encontramos con los sensores CCD o CMOS. Se puede decir que estos dispositivos son los encargados de transformar la luz en carga eléctrica para crear cada pixel de la imagen.

El sensor de imagen tiene una cuadrícula con millones de elementos microscópicos de información de luz llamados "fotosites". Cada una de estas fotositas se conoce mejor como píxeles.

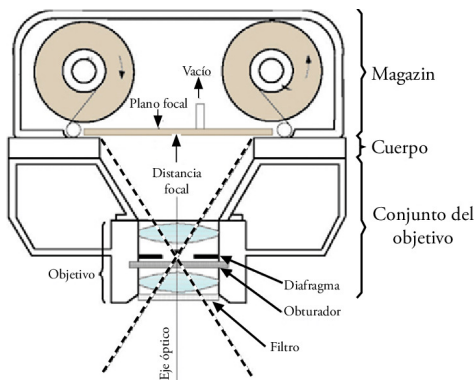


Figura 2.5: Componentes de la camara

### 2.1.6. Formación de la imagen en la cámara

En una cámara fotográfica se recibe la luz que traspasa el diafragma, pasa por los cristales de la cámara hasta llegar al CCD(Charge Coupled Device o, en español, Dispositivo de Carga Acoplada) o sensor, que es donde se forma la imagen correcta y se envía al procesador.

Algo similar pasa en el ojo, la pupila es el diagrama natural que filtra la luz que entra en el ojo, pasa por la lente (el cristalino) que converge los rayos hasta llegar a la retina, que es la estructura que tiene las células fotosensibles y dónde se produce la imagen, y a través del nervio óptico se transporta la información al cuerpo geniculado, que es la parte del cerebro donde se produce la visión.



Figura 2.6: Proceso general de captura de imágenes por la cámara

Cuando los rayos paralelos pasan a través de una lente convexa, convergen hacia un punto que se denomina punto focal.

Realmente toda lente tiene dos puntos focales según la luz pase en un sentido o en el opuesto. La distancia focal (mm, milímetros) es uno de los parámetros de los objetivos de las cámaras. Llamamos longitud focal de un objetivo a la distancia que existe entre el sensor (plano focal) y la lente.

La distancia focal está también relacionada con la cantidad de luz refractada por la lente. Es el denominado factor de potencia D cuyo valor es la inversa de la distancia focal y su unidad de medida la dioptría.

Otro valor que se encontrará en toda óptica es el número F. Este parámetro indica la relación entre la distancia focal y el diámetro del diafragma:

$$F = \frac{f}{D} \quad (2.1)$$

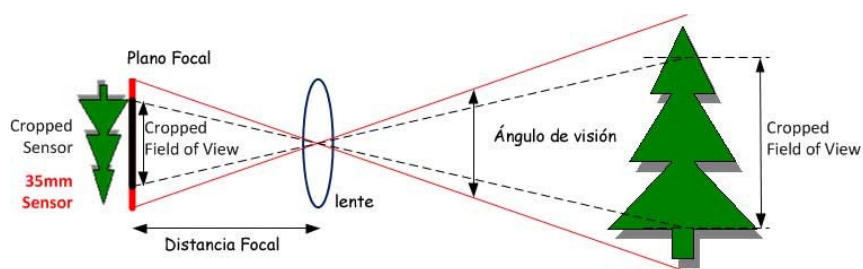


Figura 2.7: Captura de imágenes

Indica la cantidad de luz (brillantez) que se deja pasar por el objetivo y se puede regular mediante un anillo presente en la montura de la óptica.

En las ópticas habrá que tener por tanto en cuenta su F mínimo, que indicará la máxima cantidad de luz que puede atravesar la óptica y que tendrá que estar en concordancia con la sensibilidad de la cámara.

## 2.2. Procesamiento de datos

Este trabajo de investigación se basa en el procesamiento de datos usando un framework llamado ROS (del inglés Robot Operating System).

### 2.2.1. ROS

Un sistema de comunicación es a menudo una de las primeras necesidades que surgen al implementar una nueva aplicación de robot. El sistema de mensajería integrado y probado de ROS ahorra tiempo al administrar los detalles de la comunicación entre los nodos distribuidos a través del mecanismo anónimo de publicación / suscripción. Otro beneficio de usar un sistema de paso de mensajes es que te obliga a implementar interfaces claras entre los nodos en tu sistema, mejorando así la encapsulación y promoviendo la reutilización de código. La estructura de estas interfaces de mensajes se define en el mensaje IDL (Lenguaje de descripción de interfaz).

Decidí usar ROS porque crear un software de robot verdaderamente robusto y de uso general es difícil. Desde la perspectiva del robot, los problemas que parecen triviales para los humanos a menudo varían enormemente entre instancias de tareas y entornos. Hacer frente a estas variaciones es tan difícil que se necesita apoyo de un sistema de comunicación.

ROS tiene tres niveles de conceptos: el nivel del sistema de archivos, el nivel del gráfico de cómputo y el nivel de la comunidad. [ROS, ]

#### 2.2.1.1. Nivel de sistemas de archivos de ROS

Los conceptos de nivel de sistema de archivos cubren principalmente los recursos de ROS que encuentra en el sistema, tales como:

- **Paquetes**

Los paquetes son la unidad principal para organizar el software en ROS. Un paquete puede contener procesos (nodos) de tiempo de ejecución de ROS, una biblioteca dependiente de ROS, conjuntos de datos, archivos de configuración o cualquier otra cosa que se organice conjuntamente de manera útil. Los paquetes son el elemento de construcción más atómico y el elemento de lanzamiento en ROS. Lo que significa que lo más granular que puede construir y lanzar es un paquete.

#### 2.2.1.2. Nivel de gráfico de cómputo ROS

En términos generales, ROS sigue la filosofía de desarrollo de software de Unix en varios aspectos clave. Esto tiende a hacer que ROS se sienta "natural" para los desarrolladores que vienen de un entorno Unix, pero algo críptico.<sup>al principio para aquellos que han usado principalmente entornos de desarrollo gráfico en Windows o Mac OS X. [Quigley, 2015]</sup>

Los sistemas ROS consisten en numerosos programas pequeños informáticos que se conectan entre sí e intercambian mensajes continuamente. Estos mensajes viajan directamente de un programa a otro.

Los conceptos básicos del gráfico de cómputo de ROS son nodos, mastaer, servidor de

parámetros, mensajes, servicios, topics y bags, los cuales proporcionan datos al gráfico de diferentes maneras siguiendo la filosofía antes descrita.

- **Nodo**

los nodos son procesos que realizan cálculos. ROS está diseñado para ser modular a nivel de nodo; un sistema de control de robot generalmente comprende muchos nodos.

- **Master**

Un programa intermedio que conecta nodos.

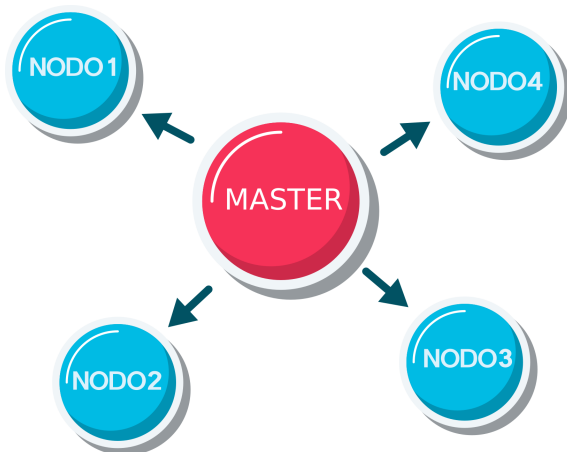


Figura 2.8: Nodos conectados al Master

- **Topics**

Los mensajes se enrutan a través de un sistema de transporte con semántica de publicación / suscripción. Un nodo envía un mensaje al publicarlo en un topic determinado. El topic es un nombre que se utiliza para identificar el contenido del mensaje.

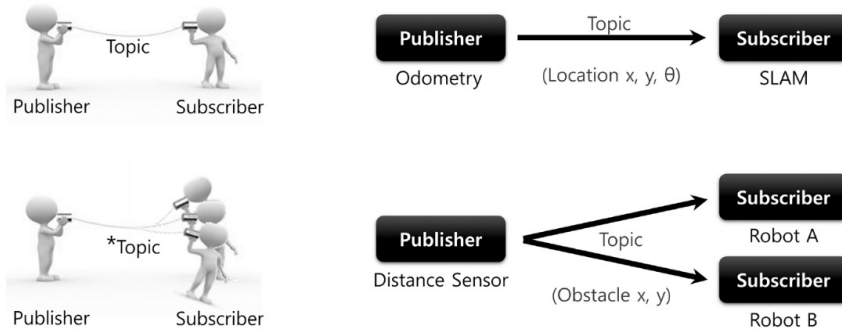


Figura 2.9: Representación grafica de Topics

- **Mensajes**

Los mensajes básicamente están pasando por el topic. Hay mensajes existentes basados en tipos de datos predefinidos, y los usuarios pueden escribir sus propios mensajes.

- **Parámetros**

El servidor de parámetros permite que los datos se almacenen por clave en una ubicación central. Actualmente es parte del Máster.

- **Servicios**

Ya hemos visto ROS Topics, que tiene un mecanismo de publicación y suscripción. El servicio ROS tiene un mecanismo de solicitud / respuesta. Una llamada de servicio es una función, que puede llamar siempre que un nodo cliente envíe una solicitud. El nodo que crea una llamada de servicio se llama nodo Servidor y el que llama al servicio se llama nodo cliente. [Joseph, 2018]

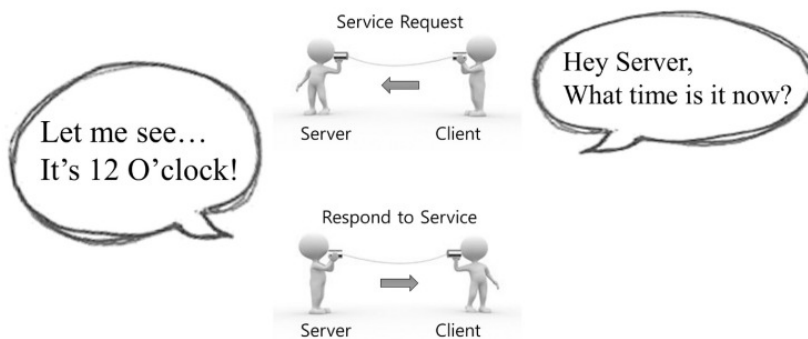


Figura 2.10: Comunicación de mensajes

### 2.2.2. Tarjeta procesadora

Como se abordó anteriormente, ROS es el framework en el cual el proyecto esta corriendo, dicho framework tiene ciertas especificaciones que un sistema operativo debe de cumplir para poder ser instalado. Debido a que el sistema debe estar embebido en un prototipo relativamente pequeño, es decir que no podrá soportar ni la carga ni las dimensiones de un laptop, se definió conveniente la implementación de una tarjeta procesadora, y que dentro de las múltiples opciones del mercado la ODROID fue la seleccionada.

Las placas de la serie Odroid son similares a Raspberry Pi, pero tiene una mejor configuración y rendimiento. Se basa en la arquitectura ARM. [Joseph, 2018]

ODROID significa Open + Android. Es una plataforma de desarrollo tanto de hardware como de software.



Figura 2.11: Odroid XU-4

El modelo XU-4 cuenta con las siguientes especificaciones:

■ **Procesador**

Samsung Exynos5422 Cortex™-A15 2Ghz and Cortex™-A7 Octa core CPUs con Mali Mali-T628 MP6 GPU.

Es un procesador móvil que fue lanzado en 2014 por Samsung para su celular S5.

■ **Almacenamiento**

Hay dos tipos de almacenamiento del sistema operativo. El primero es usando una microSD y el segundo es utilizando un módulo eMMC.

■ **Alimentación**

Es necesario alimentar con 5V y con un mínimo de 4A para su óptimo funcionamiento.

■ **Periféricos**

- USB hosts
- HDMI
- Ethernet RJ-45
- GPIO (Entradas y salidas de SPI, ADC e IRQ)
- Comunicación serial
- USB 3.0

[HardKernel, 2017]

Con base en pruebas hechas por el proveedor, el modelo XU-4 resulta ser superior a otras tarjetas de desarrollo del mercado.

Ejecutaron varios puntos de referencia para medir la potencia informática en el XU4. Las mismas pruebas se realizaron en el Raspberry Pi 3 Modelo B, ODROID-C1+, ODROID-C2 y ODROID-XU4. Los valores de los resultados de la prueba se escalaron uniformemente para fines de comparación. Se midió que la potencia informática del XU4 era 7 veces más rápida que la última Raspberry Pi 3 gracias a los núcleos 2Ghz Cortex-A15 y un ancho de banda de memoria de 64 bits mucho mayor.

Compilar código en el XU4 es super rápido. La memoria RAM DDR3 de 2 GB de alto rendimiento es una ventaja adicional que permite compilar la mayoría de los programas directamente en el XU4. [HardKernel, 2020]

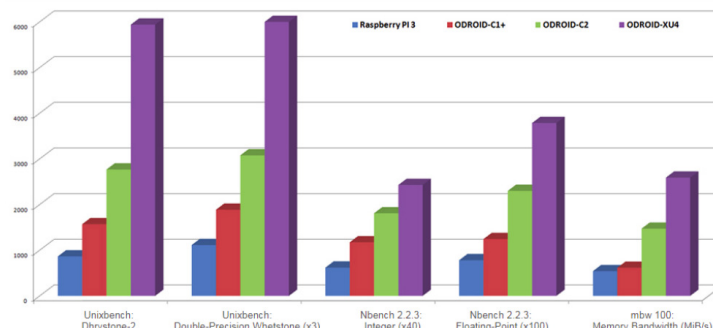


Figura 2.12: Pruebas de performance

### **2.2.3. Sistema operativo**

Una vez elegida la tarjeta de desarrollo con la cual se estará trabajando para este proyecto, el siguiente paso es escoger el sistema operativo que dará soporte a nuestro sistema. Por defecto ODROID nos sugiere utilizar Ubuntu en su versión MATE.

#### **2.2.3.1. Ubuntu MATE**

Ubuntu MATE es una distribución de Linux gratuita y de código abierto y un derivado oficial de Ubuntu.

Ubuntu es uno, si no es que el más grande, empleador de Linux en el mundo. Linux está en el corazón de Ubuntu y hace posible crear sistemas operativos seguros, potentes y versátiles.

Ubuntu MATE toma el sistema operativo basado en Ubuntu y agrega el MATE Desktop. Donde podemos definir MATE Desktop como una implementación de la metáfora del Desktop hecha de un conjunto de programas que se ejecutan en la parte superior de un sistema operativo de computadora, que comparten una interfaz gráfica de usuario (GUI) común. Las GUI de escritorio ayudan al usuario a acceder y editar archivos fácilmente. [Ubuntu, 2014]

Ubuntu soporta arquitecturas armhf, tipo de arquitectura de la odroid, además de optimizar el sistema operativo sin sacrificar las ventajas que provee para una Computadora Portátil.

## CAPÍTULO 3

---

### MODELO MATEMATICO

En esta sección se analizara el modelo matemático que rige al sistema, pasando por diferentes marcos de referencia, inercial, de la gimbal y de la camara.

## CAPÍTULO 4

### VISION ARTIFICIAL

#### 4.1. Camara

Como se abordo al inicio de este proyecto, la cámara es la parte fundamental en la captura de datos, suple la función de un ojo y depende de diversos parámetros el que tengamos una captura de calidad. Para este trabajo profesional la cámara que se utilizo fue la del fabricante HardKernel y que lleva de nombre Ocam



Figura 4.1: Camara 'Ocam'

Que tiene las siguientes especificaciones.

- **Sensor:** CMOS image sensor.
- **Lente:** Lente estandar M12 distancia focal de 3.6mm.
- **Field of view:** 65 grados.
- **Tamaño del sensor:** 0.25inch (3673.6  $\mu\text{m}$  x 2738.4  $\mu\text{m}$ )
- **Tamaño del pixel:** 1.4  $\mu\text{m}$  x 1.4  $\mu\text{m}$ .
- **Interfaz:** USB 3.0 Super-Speed.

■ **Frame rate:**

1920 x 1080 a 30fps, 1280 x 720 a45fps, 640 x 480 a30fps

El acceso directo a la memoria a través de USB 3.0 permite que los datos se escriban en la memoria principal sin pasar por la CPU. Reduce significativamente la carga de trabajo de la CPU.

## 4.2. Algoritmo general

---

### Algorithm 1 Algoritmo general del sistema de vision

---

- 1: Calibrar camara
  - 2: Capturar frame a 60fps
  - 3: Publicar frame en ROS
  - 4: Suscribirse al nodo publicador
  - 5: Convertir RGB a HSV
  - 6: Acotar el modelo HSV al color de elección
  - 7: Agregar filtro morfologico
  - 8: Obtener centroide de la figura obtenida en 6
  - 9: Publicar coordenadas del centroide
- 

## 4.3. Calibración de camara

## 4.4. Comunicación con ROS

En la sección de vision artificial se lanzan dos nodos, uno encargado de capturar y publicar frames a 60hz y el otro que se suscribe a dicho nodo y realiza un procesamiento con la información obtenida para posterior publicar coordenadas.

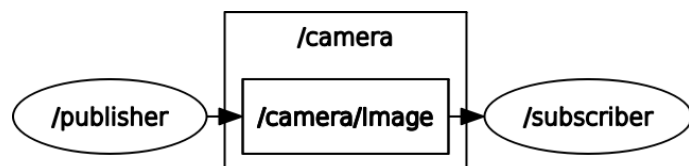


Figura 4.2: Nodos y topic

En la figura 4.1 se puede observar dos nodos conectados por un topico llamado /Image encargado de comunicar la imagen de un nodo a otro.

### 4.4.1. Publisher

Como vimos anteriormente opencv es una libreria open-source que se encarga del procesamiento de imagenes, también abordamos un poco acerca de como ROS comunica nodos y los tipos de datos que pueden ser publicados. Al hablar de que se va a publicar una imagen estamos refiriendonos a una matriz que en este caso sera de 640 x 480.

ROS pasa las imágenes en su propio formato sensor\_msgs/Image , pero en este caso usaremos ROS junto con las librerías de OpenCV. CvBridge es una biblioteca ROS que proporciona una interfaz entre ROS y OpenCV.

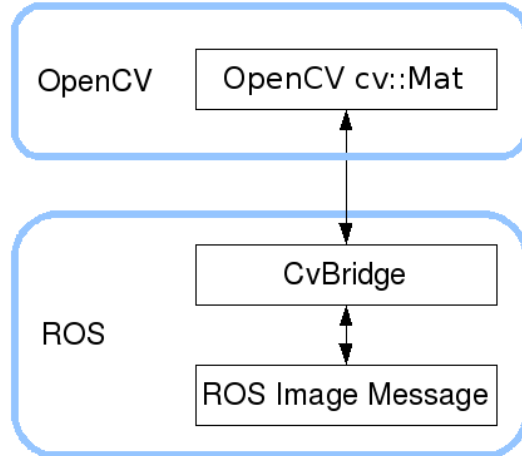


Figura 4.3: Comunicación entre opencv y ROS

Al convertir un mensaje sensor\_msgs/Image en una imagen Cv, CvBridge reconoce dos casos de uso distintos:

- Queremos modificar los datos en el lugar.  
**Tenemos que hacer una copia de los datos del mensaje ROS.**
- No modificaremos los datos.  
**Podemos compartir con seguridad los datos que posee el mensaje ROS en lugar de copiarlos.**

La entrada es el puntero del mensaje de imagen, así como un argumento de codificación opcional. La codificación se refiere al destino CvImage.

Para codificaciones de imágenes populares, CvBridge opcionalmente realizará conversiones de color o profundidad de píxeles según sea necesario. Para este proyecto se utiliza bgr8: CV\_8UC3, es decir, que el orden del color es Azul, Verde y Rojo.

Con el fin de entender este nodo se hizo el siguiente diagrama de flujo:

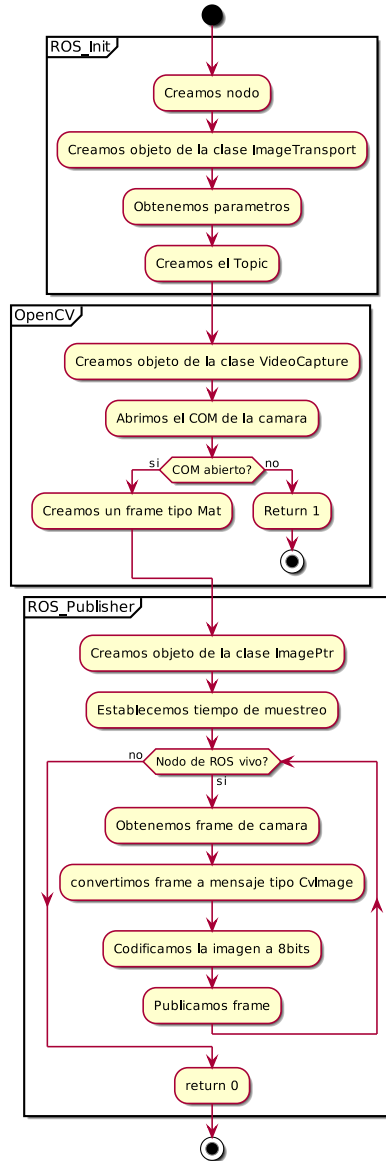


Figura 4.4: Diagrama de flujo del programa publisher

El código se encuentra en la parte del Apéndice A, 'codigo1'

#### 4.4.2. Subscriber

Este nodo tiene dos funciones principales, Suscribirse al nodo publisher y publicar un array de tamaño 2 tipo entero que guardara las coordenadas en X y Y del centroide del target.

El proceso que se ejecuta se vera más a detalle en las siguientes secciones de este capítulo.

## 4.5. Espacio de color

Como se puede apreciar en el algoritmo general, el paso 5 es el cambio de espacio de color de RGB a HSV, además ya sabemos el porque es mejor generar colores partiendo del

modelo HSV. Así que lo que ahora sigue es la implementación en código y las pruebas que se hicieron para tener un rango de colores y así tener una base de datos a la cual recurriremos después.

Debido a que no hay un solo color azul o rojo, etc, si no más bien un rango que cubre la gama de azules, amarillo, naranja, etc. Por esa razón se hicieron pruebas para determinar los valores HSV que corresponden a los siguientes colores: Amarillo, Azul, Rojo, Verde y Naranja y de esta manera a la hora de seguir un objetivo de dado color el sistema no tenga problemas en reconocer esa gama de color.

#### 4.5.1. Prueba de amarillo

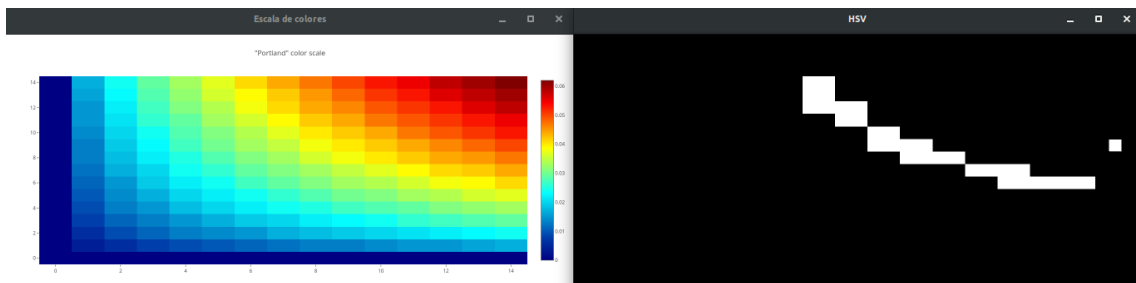


Figura 4.5: Pruebas para color amarillo

Los valores para el rango que considere amarillo son:

H minimo = 25

S minimo = 50

V minimo = 50

H maximo = 32

S maximo = 255

V maximo = 255

#### 4.5.2. Pruebas de color Rojo

El color rojo, en OpenCV, tiene los valores de tono aproximadamente en el rango de 0 a 10 y 160 a 180.

prueba

## APENDICE A

### Código 1

```
1 #include <ros/ros.h>
2 #include <image_transport/image_transport.h>
3 #include <opencv2/highgui/highgui.hpp>
4 #include <cv_bridge/cv_bridge.h>
5 #include <sstream>
6 #include <iostream>
7
8 using namespace std;
9 using namespace cv;
10
11 image_transport::Publisher pub;
12 VideoCapture VC;
13 int CAMCOM;
14 int SAMPLETIME;
15 void publisher();
16
17
18 int main(int argc, char **argv)
19 {
20     ros::init(argc, argv, "image_publish");
21     publisher();
22
23     return 0;
24 }
25
26 void publisher()
27 {
28     ros::NodeHandle nh;
29     image_transport::ImageTransport imgt(nh);
30     nh.getParam("/com", CAMCOM);
31     nh.getParam("/sampletime", SAMPLETIME);
32     pub = imgt.advertise("camera/Image", 1);
33     VC.open(CAMCOM);
34     if (!VC.isOpened())
35     {
36         ROS_INFO("Camara no conectada");
```

```
37     }
38     else
39     {
40         ROS_INFO("Camara conectada en el COM %d",CAMCOM);
41         cv::Mat FRAME;
42         sensor_msgs::ImagePtr MSG;
43
44         ros::Rate loop_rate(SAMPLETIME); /*HZ*/
45
46         while (nh.ok())
47         {
48             VC >> FRAME;
49             if (!FRAME.empty())
50             {
51                 MSG = cv_bridge::CvImage(std_msgs::Header(),
52                                         "bgr8", FRAME).toImageMsg();
53                 pub.publish(MSG);
54                 cv::waitKey(30);
55             }
56             ros::spinOnce();
57             loop_rate.sleep();
58         }
59     }
```

## BIBLIOGRAFÍA

- [Gim, ] Gimbal. <https://playlists.net/artists/gimbal>. Accessed: 2020-01-10.
- [NAS, ] Nasa's j-2x rocket engine development. <https://www.nasa.gov/exploration/systems/sls/j2x>. Accessed: 2020-01-10.
- [ROS, ] Ros/concepts - ros wiki. <http://wiki.ros.org/ROS/Concepts>. Accessed: 2020-01-10.
- [NAS, 2013] (2013). gimbal bearing – liquid rocket engines (j-2x, rs-25, general). <https://blogs.nasa.gov/J2X/tag/gimbal-bearing/>. Accessed: 2020-01-10.
- [MER, 2017] (2017). The gimbal rig mercury astronaut trainer. <https://www.nasa.gov/centers/glenn/about/history/mastif.html>. Accessed: 2020-01-10.
- [Bharath, 2008] Bharath, A. (2008). *Next Generation Artificial Vision System*. Artech House.
- [Grewal, 2007] Grewal, M. S. (2007). *Global Positioning Systems, inertial navigation, and integration*. Wiley.
- [HardKernel, 2017] HardKernel (2017). *ODROID-XU4*. HardKernel.
- [HardKernel, 2020] HardKernel (2020). Odroid xu-4.
- [Joseph, 2018] Joseph, L. (2018). *Robot Operating System for Absolute Beginners: Robotics Programming Made Easy*. apress.
- [of Ophthalmology, 2017] of Ophthalmology, A. A. (2017). Fotorreceptores.
- [PHOTOGRAPHY, ] PHOTOGRAPHY, E. B. How cameras work-the parts of a camera.
- [Quigley, 2015] Quigley, M. (2015). *Programming Robots with ROS*. O'Reilly.
- [Ubuntu, 2014] Ubuntu (2014). What is ubuntu mate?
- [Vilet, 2005] Vilet, J. R. M. (2005). *Apuntes de Procesamiento Digital de Imágenes*. Facultad de Ingeniería UASLP, first edition.